

# ANALISIS REGRESI SEMIPARAMETRIK PADA KASUS HILANGNYA RESPON

Irma Yahya<sup>1)</sup>, I Nyoman Budiantara<sup>2)</sup>, dan Kartika Fitriasari<sup>2)</sup>

<sup>1)</sup>Jurusan Matematika FMIPA, Universitas Haluoleo Kendari

<sup>2)</sup>Jurusan Statistika FMIPA, ITS Sukolilo Surabaya

**Abstract.** In the specific cases of experiment, not all data (response) may be available, which is called missing response cases. It's appear for various reasons. For the existing problem, inference statistics cannot be applied directly. The aim of this research is to consider about certain method to impute the missing response which is related to semiparametric regression, as a goodness of fit measurement of the used method, suppose an estimator  $\hat{\theta}$  which is compared to the mean of complete response, then consider asymptotic distribution, consistency and efficiency of parametrics component estimator. By using Kernel approximation, the resulted of nonparametrics estimator and by least square method, the resulted parametric component .The application to minimum temperature's data in 56 cities at USA, estimator value of  $\hat{\theta}$  for several confidence interval tend to be similar to the mean value of complete response.

**Keywords:** Asymptotic, Kernel Estimator, Missing Response, Semiparametric Regression.

## 1. PENDAHULUAN

Berbicara tentang inferensi statistik, dimana teori probabilitas digunakan sebagai pondasinya atau dasarnya, sama halnya berbicara masalah estimasi, baik estimasi interval maupun estimasi titik dan masalah pengujian hipotesis. Ketika melakukan inferensi statistik dibutuhkan data yang lengkap. Namun tak dapat dipungkiri bahwa dalam suatu penelitian dengan berbagai alasan sering terjadi kehilangan informasi untuk mendapatkan data (respon) lengkap yang dibutuhkan, yang biasanya disebut sebagai kasus hilangnya (*missing*) respon. Misalnya karena ketidaksediaan dari unit-unit sampel untuk memberikan informasi atau karena adanya faktor-faktor yang tidak terkontrol. Untuk mengatasi masalah kehilangan respon tersebut, hal yang biasanya dilakukan yaitu dengan cara membuang nilai variabel-variabel prediktor yang bersesuaian dengan nilai respon yang hilang, tetapi hal ini tidak selamanya dapat dilakukan ketika kontribusi dari nilai variabel-variabel prediktor itu sangat dibutuhkan, atau dengan cara mengganti setiap respon yang hilang dengan suatu nilai yang wajar kemudian dilakukan analisis statistik berdasarkan data yang lengkap, namun hal

ini juga akan mengakibatkan inferensi statistik dengan bias yang besar.

Dalam beberapa tahun terakhir ini telah banyak peneliti yang membahas tentang isu di atas dengan berbagai metode diantaranya yang berhubungan dengan regresi linier [11], [3], metode ratio [4], [7] mengawali metode kernel untuk missing respon, menggunakan estimasi regresi non-parametrik untuk mengestimasi respon yang hilang dengan asumsi MAR, [8] menggunakan densitas kernel yang dikombinasikan dengan nonparametrik *bootstrap*, Efron (1994) dengan pendekatan Bayesian *bootstrap*, [2] dengan pendekatan kernel untuk nonparametrik, pendekatan regresi multivariat [6], pendekatan *Likelihood* [4].

Dalam tulisan ini akan dibahas suatu metode untuk mengganti respon yang hilang didasarkan pada persamaan regresi semiparametrik:

$$Y_i = X_i^T \beta + g(T_i) + \varepsilon_i, \quad i = 1, 2, \dots, n \quad (1.1),$$

dimana  $Y_i$  adalah variabel respon,  $X_i$  dan  $T_i$  adalah variabel prediktor,  $g(\cdot)$  adalah fungsi yang tidak diketahui dan  $\varepsilon_i$  adalah error yang independen dengan

mean nol dan varians  $\sigma^2$ . Diasumsikan  $Y_i$  hilang secara acak (*missing at random, MAR*) Untuk mengukur kebaikan metode yang digunakan, diberikan suatu ukuran [10] yang didefinisikan:

$$\theta = \frac{1}{n} \sum_{i=1}^n [\delta_i Y_i + (1-\delta_i)(X_i^T \beta + g(T_i))]. \quad (1.2)$$

Sebagai ukuran kebaikan dari metode ini, yaitu bahwa nilai  $\hat{\theta}$  akan mendekati nilai rata-rata dan nilai estimasi kurva respon lengkap.

## 2. ESTIMASI FUNGSI $g(\cdot)$ DAN PARAMETER $\beta$

Jika persamaan (1.1) dihubungkan dengan kasus hilangnya respon dan  $\beta$  diketahui sebagai parameter yang benar maka untuk mengestimasi fungsi  $g_1(t)$  dan  $g_2(t)$ , dilakukan dengan langkah awal yaitu persamaan (1.1) dikalikan dengan suatu indikator  $\delta_i$ , dimana  $\delta_i=0$  jika  $Y_i$  hilang (*missing*) dan  $\delta_i=1$  jika  $Y_i$  tidak hilang, sehingga persamaan (1.1) menjadi:

$$\delta_i Y_i = \delta_i X_i^T \beta + \delta_i g(T_i) + \delta_i \epsilon_i \quad (2.1)$$

Selanjutnya persamaan (2.1) diekspektasikan dengan syarat ( $T=t$ ) maka diperoleh

$$E(\delta_i Y_i | T=t) = E(\delta_i X_i^T | T=t) \beta + E(\delta_i | T=t) g(t) \text{ sehingga:}$$

$$g(t) = \frac{E(\delta_i Y_i | T_i=t)}{E(\delta_i | T_i=t)} - \frac{E(\delta_i X_i^T | T_i=t)}{E(\delta_i | T_i=t)} \beta. \quad (2.2)$$

Persamaan (2.2) dapat ditulis sebagai berikut:

$$g(t_i) = g_2(t_i) - g_1(t_i) \beta, \quad (2.3)$$

dimana

$$g_2(t) = \frac{E(\delta_i Y_i | T_i=t)}{E(\delta_i | T_i=t)}, \quad g_1(t) = \frac{E(\delta_i X_i^T | T_i=t)}{E(\delta_i | T_i=t)}$$

Dengan menggunakan pendekatan fungsi kernel maka akan diperoleh estimator

dari  $g_1(t)$ ,  $g_2(t)$ , dan  $g(t)$  masing-masing sebagai berikut

$$\hat{g}_1(t) = \frac{n^{-1} \sum_{i=1}^n \delta_i K_{h_1}(t-T_i) X_i}{n^{-1} \sum_{i=1}^n \delta_i K_{h_1}(t-T_i)} = \sum_{i=1}^n \delta_i W_{h_1}(t_i) X_i \quad (2.4)$$

$$\hat{g}_2(t) = \frac{n^{-1} \sum_{i=1}^n \delta_i K_{h_1}(t-T_i) Y_i}{n^{-1} \sum_{i=1}^n \delta_i K_{h_1}(t-T_i)} = \sum_{i=1}^n \delta_i W_{h_1}(t_i) Y_i \quad (2.5)$$

$$\text{dimana } W_{h_1}(t) = \frac{K\left(\frac{t-t_i}{h}\right)}{\sum_{i=1}^n \delta_i K\left(\frac{t-t_i}{h}\right)}.$$

Setelah estimator-estimator dari bagian nonparametrik diperoleh, selanjutkan ditentukan estimator parametrik yaitu  $\hat{\beta}$ , Untuk mengetahui estimator ini digunakan metode kuadrat terkecil dan dengan memminimumkan

$$Q = \sum_{i=1}^n \varepsilon_i^2 = \sum_{i=1}^n [(Y_i - \hat{g}_{2n}(t_i)) - (X_i - \hat{g}_{1n}(t_i))^T \beta]^2, \quad (2.6)$$

maka diperoleh

$$\hat{\beta}_n = \left[ \sum_{i=1}^n \delta_i (X_i - \hat{g}_{1n}(t_i)) (X_i - \hat{g}_{1n}(t_i))^T \right]^{-1} \times \sum_{i=1}^n \delta_i [(X_i - \hat{g}_{1n}(t_i)) (Y_i - \hat{g}_{2n}(t_i))] . \quad (2.7)$$

Estimator-estimator yang telah diperoleh, kemudian disubtitusikan kedalam persamaan (2.3) untuk menentukan estimator dari fungsi  $g(\cdot)$ .

Sebagai ukuran kebaikan dari metode yang digunakan pada regresi semiparametrik pada kasus hilangnya respon, digunakan suatu ukuran kebaikan seperti pada persamaan (1.2) di atas, dengan memsubtitusikan estimator-estimator parametrik dan nonparametrik yang diperoleh.

### 3. APLIKASI DATA

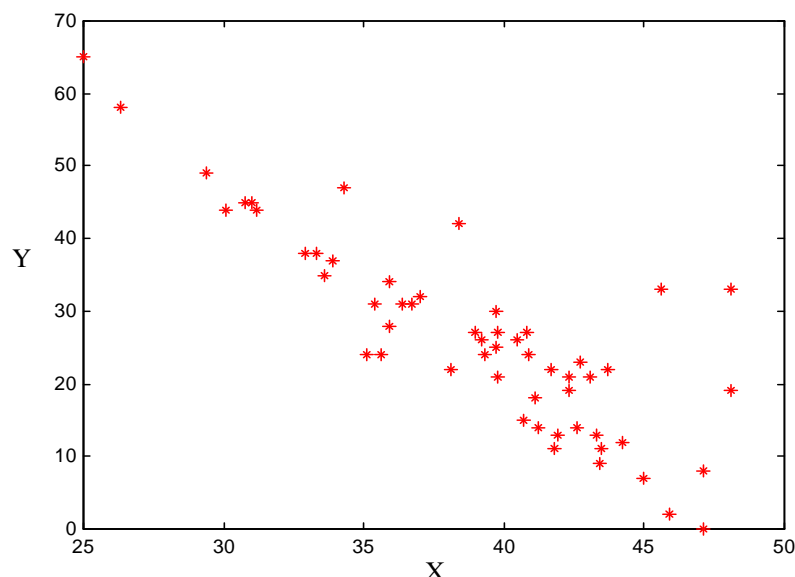
Untuk aplikasi digunakan rata-rata suhu minimum bulan Januari di 56 kota Amerika Serikat. Ingin diketahui bagaimana pengaruh letak suatu kota berdasarkan derajat bujur (longitude) dan derajat lintang (latitude) terhadap suhu rata-rata minimum.

Sebagai langkah awal yaitu menentukan variabel-variabel prediktor yang mana sebagai variabel parametrik dan variabel nonparametrik. Salah satu cara untuk melihat hal tersebut yaitu dengan melihat plot antara masing-masing variabel prediktor dengan varibel respon, jika plot antara variabel prediktor dengan variabel respon mengarah ke suatu bentuk kurva tertentu maka variabel prediktor tersebut merupakan varibel parametrik sedangkan jika plot tersebut tidak jelas bentuk kurvanya maka

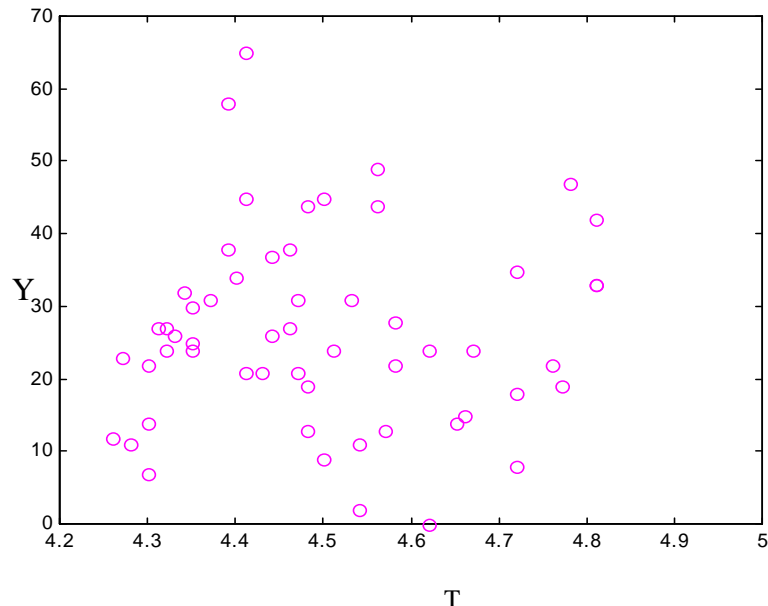
variabel prediktor tersebut adalah variabel nonparametrik.

Berdasarkan Gambar (3.1) terlihat bahwa antara variabel X (lintang) dan variabel Y (suhu minimum), jelas plotnya mengarah ke suatu bentuk kurva tertentu sehingga variabel X ditetapkan sebagai varibel parametrik sedangkan dari Gambar (3.2) plot antara variabel T (bujur) dan variabel Y (suhu minimum) tidak mengarah ke suatu bentuk kurva tertentu sehingga variabel T ditetapkan sebagai variabel nonparametrik.

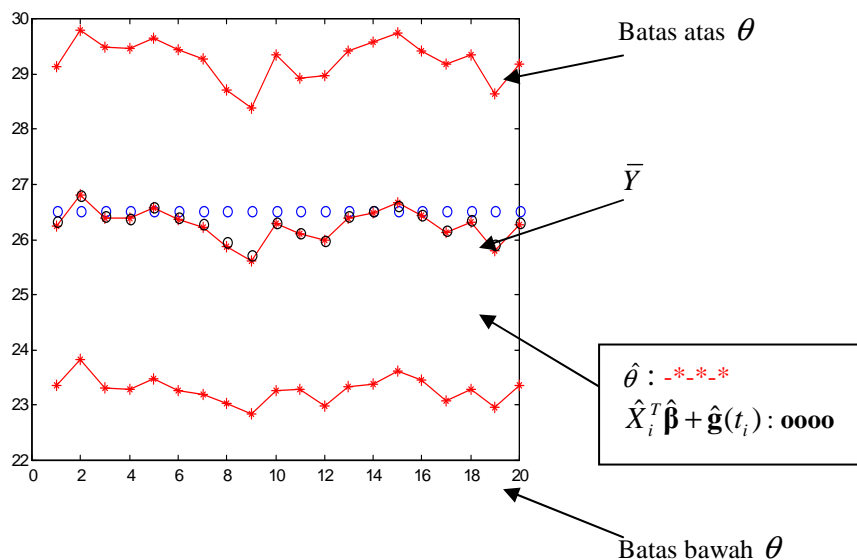
Pada proses hilangnya respon 5% dan 10 % dengan interval konvidensi 90% diperoleh nilai  $\hat{\theta}$  dan nilai estimasi kurva. Pada Tabel 3.1 di halaman lampiran, terlihat dengan jelas nilai-nilai  $\hat{\theta}$  hampir sama dengan rata-rata respon lengkap yaitu **26,5179**.



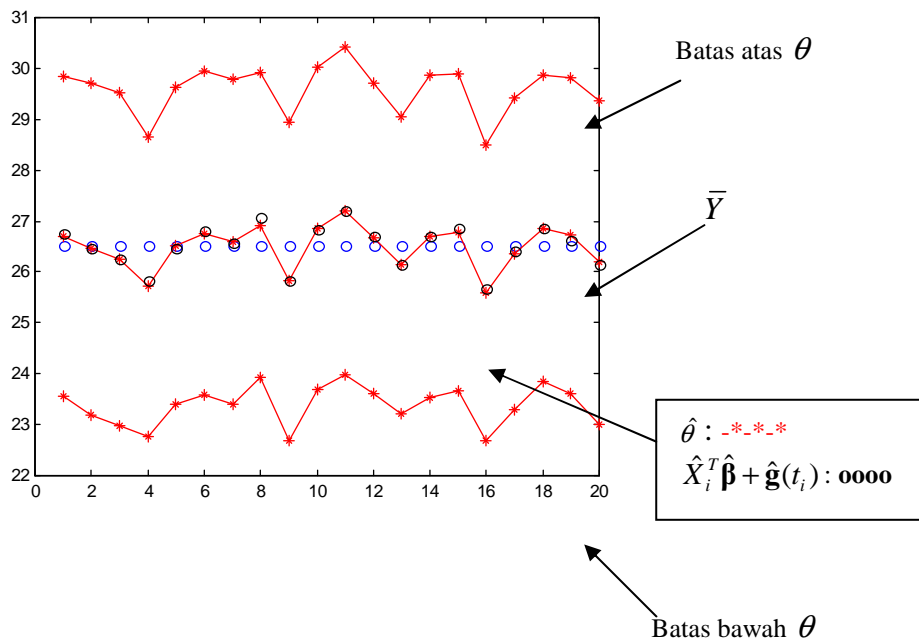
Gambar 3.1. Plot antara Suhu Minimum (Y) dan Garis Lintang(X)



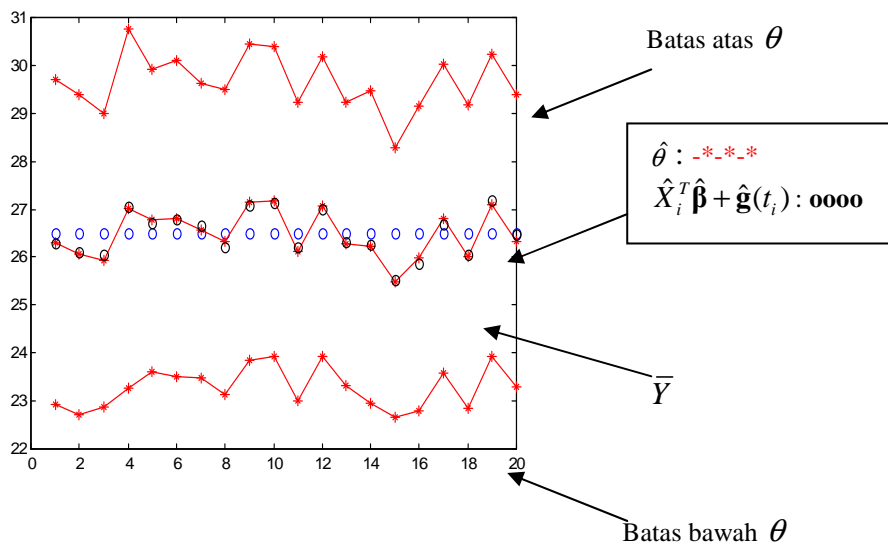
Gambar 3.2. Plot antara Suhu Minimum (Y) dan Garis Bujur (T)



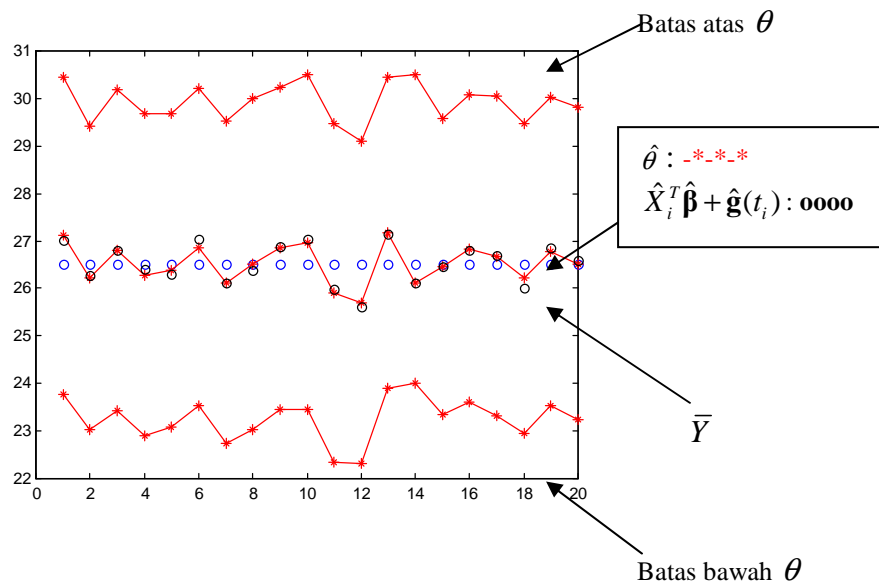
Gambar 3.3. Plot Nilai  $\hat{\theta}$ , Interval Konfidenyi 90 % untuk  $\theta$  dan Estimasi Kurva Regresi Hilangnya Respon 5%.



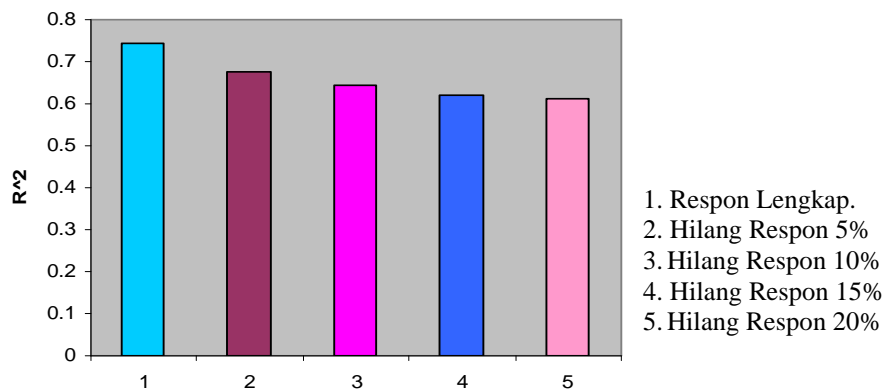
Gambar 3.4. Plot Nilai  $\hat{\theta}$ , Interval Konfidensi 90 % untuk  $\theta$  dan Estimasi Kurva Regresi Hilangnya Respon 10%.



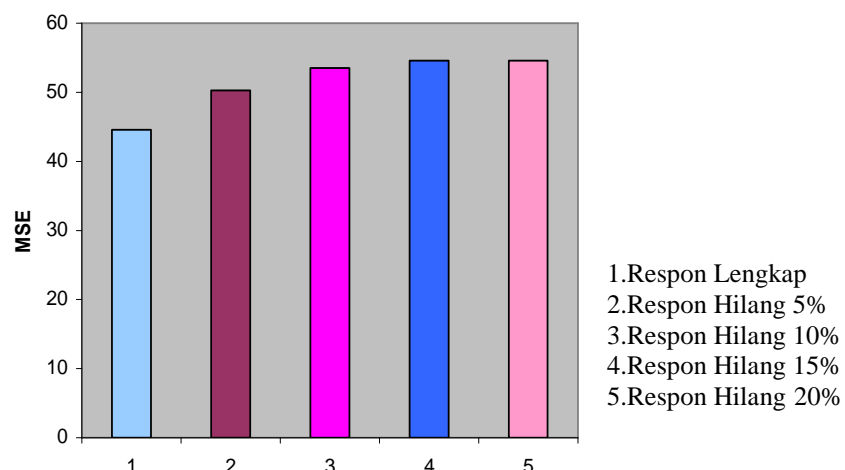
Gambar 3.3. Plot Nilai  $\hat{\theta}$ , Interval Konfidensi 90 % untuk  $\theta$  dan Estimasi Kurva Regresi Hilangnya Respon 15%.



Gambar 3.4. Plot Nilai  $\hat{\theta}$ , Interval Konfidensi 90 % untuk  $\theta$  dan Estimasi Kurva Regresi Hilangnya Respon 20%.



Gambar 3.5. Diagram Batang  $R^2$  Respon Lengkap Dan Respon Hilang dengan Interval Konfidensi 90%.



Gambar 3.6. Diagram Batang MSE Respon Lengkap Dan Respon Hilang dengan Interval Konfidensi 90%.

Dari Gambar 3.3 dapat dilihat bahwa batas bawah  $\theta$  terkecil 22,8340 dan terbesar adalah 23,8358 sedangkan batas atas terkecil 28,3859 dan terbesar 29,7925. Pada Gambar 3.4 diperoleh batas bawah terkecil 22,6811 dan terbesar 23,9884 serta batas atas terkecil 28,4958 dan yang terbesar 30,4136. Terlihat juga bahwa nilai-nilai estimasi kurva regresi dan nilai rata-rata respon lengkap berada diantara batas atas dan batas bawah tersebut.

Pada proses hilangnya respon 15% dan 20 % dengan interval konvidensi 90% diperoleh nilai  $\hat{\theta}$  dan nilai estimasi kurva. Pada Tabel 3.2 di halaman lampiran, terlihat bahwa nilai-nilai  $\hat{\theta}$  hampir sama dengan nilai rata-rata respon lengkapyaitu **26.5179**.

Dari Gambar 3.3 di atas dapat disimpulkan bahwa batas bawah  $\theta$  terkecil 22,6688 dan terbesar adalah 23,9301 sedangkan batas atas terkecil 28,2899 dan terbesar 30,7545. Pada Gambar 3.4 diperoleh batas bawah terkecil 22,3042 dan terbesar 24,0130 serta batas atas terkecil 29,1067 dan yang terbesar 30,4998. Nilai estimasi kurva regresi dan nilai rata-rata respon lengkap berada diantara batas atas dan batas bawah.

Untuk nilai  $R^2$  dan MSE dari hilangnya respon 5%, 10%, 15 dan 20% (Gambar 3.5 dan Gambar 3.6) di atas, nilai-nilai tersebut cenderung sama dengan nilai  $R^2$  dan MSE dari respon lengkap, sehingga dapat disimpulkan bahwa proses penggantian respon yang hilang dengan mempergunakan metode ini adalah tidak merubah sifat dari respon lengkap atau metode ini cukup baik.

#### 4. DAFTAR PUSTAKA

- [1] Bartle,R.G. dan Sherbhet, D.R, (1982), *Introduction to Real Analysis*, John Wiley & Sons, Inc, New York.
- [2] Cheng,P.E., (1994), *Nonparametric Estimation of Mean Functional with Data Missing at Random*, J. Amer. Statist. Assoc., **89**: 81-87.
- [3] Healy,M.J.R. dan Westmacoot,M. (1996), *Missing Values in Experiments Analyzed on Automatic Computers*, J.App. Statist.
- [4] Rao,J.N.K.,(1996), *On Variance Estimation with Impute Survey Data*, J. Amer. Statist Asso., **91**: 499-520.
- [5] Rohatgi,V.K., (1976), *An Introduction to Probability Theory and Mathematical Statistics*, John Wiley & Sons, New York.
- [6] Robins,J.dan Rotnizky,A., (1995), *Semiparametric Efficiency in Multivariate Regression Models with Missing Data*, Journal of the American Statistical Association, . **90**: 122-129.
- [7] Titterington,D.M. dan Mill,G.M, (1983), *Kernel Based Density Estimates from Incomplete Data*, Journal of the Royal Statistical Society B, **45**:258-266.
- [8] Titterington,D.M. dan Sedransk, J, (1989), *Imputation of Missing Values Using Density Estimation Statistics & Probability Letters*, **8**: 411-418.
- [9] Wang,Q.H. dan Rao,J.N.K. (2002), *Empirical Likelihood for Linier Regression Model Under Imputation for Missing Respon*, The Canadian Journal of Statistics, **29**: 597-608.
- [10] Wang, Q.H. dan Linton, O (2004), *Semiparametric Regression Analysis with Missing Response at Random*, Journal of the American Statistical Association, **99**: 334-345.
- [11] Yates,F (1993), *The Analysis of Replicated Experiments Where Field Result are Incomplete*, J. Exp. Agric., **1**:129-142.

**LAMPIRAN**Tabel Hasil 3.1. Nilai  $\hat{\theta}$ , Interval Konfidensi 90% untuk  $\theta$  dan  $X_i^T \hat{\beta} + \hat{g}(t_i)$ 

| <b>Hilangnya Respon (%)</b> | <b>Ulangan</b> | $\hat{\theta}$ | <b>Interval Konfidensi 90% Untuk <math>\theta</math></b> |                   | $X_i^T \hat{\beta} + \hat{g}(t_i)$ |
|-----------------------------|----------------|----------------|--|-------------------|------------------------------------|
|                             |                |                | <b>Batas Bawah</b>                                       | <b>Batas Atas</b> |                                    |
| 5                           | 1              | 26.2491        | 23.3619  | 29.1364           | 26.3448                            |
|                             | 2              | 26.8141        | 23.8358  | 29.7925           | 26.8141                            |
|                             | 3              | 26.3981        | 23.3178  | 29.4784           | 26.4419                            |
|                             | 4              | 26.3807        | 23.2916  | 29.4698           | 26.3758                            |
|                             | 5              | 26.5733        | 23.4893  | 29.6572           | 26.5949                            |
|                             | 6              | 26.3593        | 23.2710  | 29.4477           | 26.4050                            |
|                             | 7              | 26.2295        | 23.1953  | 29.2638           | 26.2848                            |
|                             | 8              | 25.8705        | 23.0206  | 28.7205           | 25.9597                            |
|                             | 9              | 25.6099        | 22.8340  | 28.3859           | 25.7187                            |
|                             | 10             | 26.3009        | 23.2559  | 29.3458           | 26.3080                            |
|                             | 11             | 26.0945        | 23.2790  | 28.9101           | 26.1392                            |
|                             | 12             | 25.9785        | 22.9911  | 28.9659           | 25.9956                            |
|                             | 13             | 26.3791        | 23.3456  | 29.4127           | 26.4319                            |
|                             | 14             | 26.4919        | 23.3955  | 29.5884           | 26.5251                            |
|                             | 15             | 26.6791        | 23.6245  | 29.7336           | 26.6183                            |
|                             | 16             | 26.4326        | 23.4555  | 29.4096           | 26.4626                            |
|                             | 17             | 26.1310        | 23.0896  | 29.1725           | 26.1698                            |
|                             | 18             | 26.3225        | 23.2926  | 29.3523           | 26.3528                            |
|                             | 19             | 25.7946        | 22.9518  | 28.6373           | 25.9071                            |
|                             | 20             | 26.2659        | 23.3581  | 29.1736           | 26.3151                            |
| 10                          | 1              | 26.7052        | 23.5640  | 29.8465           | 26.7602                            |
|                             | 2              | 26.4492        | 23.1869  | 29.7115           | 26.4727                            |
|                             | 3              | 26.2591        | 22.9881  | 29.5302           | 26.2513                            |
|                             | 4              | 25.7123        | 22.7705  | 28.6541           | 25.8148                            |
|                             | 5              | 26.5137        | 23.4106  | 29.6168           | 26.4716                            |
|                             | 6              | 26.7639        | 23.5924  | 29.9354           | 26.7984                            |
|                             | 7              | 26.5965        | 23.4109  | 29.7821           | 26.5746                            |
|                             | 8              | 26.9183        | 23.9169  | 29.9198           | 27.0606                            |
|                             | 9              | 25.8138        | 22.6835  | 28.9440           | 25.8154                            |
|                             | 10             | 26.8594        | 23.6844  | 30.0344           | 26.8188                            |
|                             | 11             | 27.2010        | 23.9884  | 30.4136           | 27.1883                            |
|                             | 12             | 26.6650        | 23.6159  | 29.7141           | 26.7080                            |
|                             | 13             | 26.1377        | 23.2209  | 29.0545           | 26.1394                            |
|                             | 14             | 26.6989        | 23.5344  | 29.8634           | 26.7081                            |
|                             | 15             | 26.7714        | 23.6602  | 29.8825           | 26.8660                            |
|                             | 16             | 25.5885        | 22.6811  | 28.4958           | 25.6774                            |
|                             | 17             | 26.3617        | 23.3004  | 29.4230           | 26.4039                            |
|                             | 18             | 26.8593        | 23.8567  | 29.8619           | 26.8533                            |
|                             | 19             | 26.7122        | 23.6117  | 29.8127           | 26.6282                            |
|                             | 20             | 26.1926        | 23.0091  | 29.3761           | 26.1333                            |

Tabel 3.2. Nilai  $\hat{\theta}$ , Interval Konfidensi 90 % untuk  $\theta$  dan Estimasi Kurva Regresi

| <b>Hilangnya Respon (%)</b> | <b>Ulangan</b> | $\hat{\theta}$ | <b>Interval Konfidensi 90% Untuk <math>\theta</math></b> |                   | $X_i^T \hat{\beta} + \hat{g}(t_i)$ |
|-----------------------------|----------------|----------------|--|-------------------|------------------------------------|
|                             |                |                | <b>Batas Bawah</b>                                       | <b>Batas Atas</b> |                                    |
| 15                          | 1              | 26.3114        | 22.9170  | 29.7058           | 26.2912                            |
|                             | 2              | 26.0519        | 22.7181  | 29.3857           | 26.1133                            |
|                             | 3              | 25.9368        | 22.8799  | 28.9936           | 26.0574                            |
|                             | 4              | 27.0094        | 23.2641  | 30.7547           | 27.0560                            |
|                             | 5              | 26.7645        | 23.6191  | 29.9098           | 26.7303                            |
|                             | 6              | 26.8127        | 23.5101  | 30.1152           | 26.8108                            |
|                             | 7              | 26.5593        | 23.4907  | 29.6278           | 26.6739                            |
|                             | 8              | 26.3155        | 23.1401  | 29.4910           | 26.2220                            |
|                             | 9              | 27.1389        | 23.8401  | 30.4378           | 27.0837                            |
|                             | 10             | 27.1637        | 23.9289  | 30.3984           | 27.1456                            |
|                             | 11             | 26.1178        | 23.0125  | 29.2231           | 26.2251                            |
|                             | 12             | 27.0581        | 23.9301  | 30.1860           | 27.0170                            |
|                             | 13             | 26.2776        | 23.3119  | 29.2432           | 26.3411                            |
|                             | 14             | 26.2196        | 22.9594  | 29.4798           | 26.2871                            |
|                             | 15             | 25.4794        | 22.6688  | 28.2899           | 25.5257                            |
|                             | 16             | 25.9826        | 22.8035  | 29.1616           | 25.8780                            |
|                             | 17             | 26.7973        | 23.5735  | 30.0211           | 26.6922                            |
|                             | 18             | 26.0061        | 22.8422  | 29.1701           | 26.0735                            |
|                             | 19             | 27.0829        | 23.9295  | 30.2362           | 27.2052                            |
|                             | 20             | 26.3383        | 23.2851  | 29.3916           | 26.4934                            |
| 20                          | 1              | 27.1113        | 23.7766  | 30.4459           | 27.0194                            |
|                             | 2              | 26.2142        | 23.0190  | 29.4094           | 26.2724                            |
|                             | 3              | 26.8004        | 23.4289  | 30.1719           | 26.7950                            |
|                             | 4              | 26.2763        | 22.8847  | 29.6678           | 26.4075                            |
|                             | 5              | 26.3829        | 23.0923  | 29.6736           | 26.3140                            |
|                             | 6              | 26.8638        | 23.5304  | 30.1972           | 27.0489                            |
|                             | 7              | 26.1256        | 22.7418  | 29.5094           | 26.1190                            |
|                             | 8              | 26.5065        | 23.0226  | 29.9904           | 26.3765                            |
|                             | 9              | 26.8550        | 23.4624  | 30.2475           | 26.8933                            |
|                             | 10             | 26.9743        | 23.4605  | 30.4881           | 27.0499                            |
|                             | 11             | 25.9058        | 22.3553  | 29.4563           | 25.9749                            |
|                             | 12             | 25.7055        | 22.3042  | 29.1067           | 25.6234                            |
|                             | 13             | 27.1750        | 23.9090  | 30.4410           | 27.1497                            |
|                             | 14             | 26.1270        | 24.0130  | 30.4998           | 26.1198                            |
|                             | 15             | 26.4710        | 23.3586  | 29.5833           | 26.4618                            |
|                             | 16             | 26.8346        | 23.5999  | 30.0694           | 26.7999                            |
|                             | 17             | 26.6747        | 23.3109  | 30.0386           | 26.7075                            |
|                             | 18             | 26.2147        | 22.9617  | 29.4677           | 26.0035                            |
|                             | 19             | 26.7771        | 23.5304  | 30.0238           | 26.8652                            |
|                             | 20             | 26.5236        | 23.2399  | 29.8072           | 26.5800                            |